

بررسی لکتین هیستوشیمیایی گلیکوکانجوگیتهاي اپیتليوم منی ساز در موش

فرزانه زمان سلطانی M.Sc^{*}, علیرضا محمود بان Ph.D^{*}, حسن علوی Ph.D^{*}, علیرضا فاضل Ph.D^{*}

* گروه علوم تشریح دانشگاه علوم پزشکی مشهد

تاریخ وصول: بهمن ماه ۸۲، تاریخ پذیرش: اسفند ماه ۸۲

چکیده

هدف: تعیین الگوی طبیعی توزیع گلیکوکانجوگیتهاي دارای قندهای انتهايی خاص در لولههای منی ساز موش با استفاده از روش لکتین هیستوشیمی.

مواد و روشها: نمونههای بیضه از ۱۵ موش سالم بارور تهیه شد. پس از ثبیت و طی مراحل معمول آزمایشگاهی، از بلوكهای پارافینی برشهای ۵ میکرومتری تهیه شد. برای تعیین حضور گلیکوکانجوگیتها در لولههای منی ساز روش لکتین هیستوشیمی مورد استفاده قرار گرفت. برای این کار هفت لکتین کونژوگه با پراکسیداز به کار برده شد.

یافتههای: در سلولهای اسپرماتوگونی هیچ نوع واکنشی نسبت به لکتینها مشاهده نشد. واکنش به لکتینهای (Peanut agglutinin) (PNA)، (Vicia villosa agglutinin) (VVA) و (Soybean agglutinin) (SBA)، (Madura pamifera agglutinin) (MPA) در غشا، سیتوپلاسم و گرانولهای پیش آکروزومی اسپرماتوسیت اول ظاهر شده و در اسپرماتیدهای اولیه بر شدت آن افزوده شد. از شدت واکنش در اسپرماتیدهای انتهايی کاسته شد. لکتین LTA هیچ واکنشی در سلولهای زایا ایجاد نکرد. واکنش در سلولهای سرتولی فقط نسبت به لکتینهای MPA و PNA ملاحظه شد.

نتیجه گیری: قندهای انتهايی گالاکتوز انستیل گالاکتوز آمین در سیتوپلاسم، غشا و آکروزوم سلولهای زایا پس از اسپرماتوگونیا به مقدار فراوانی وجود دارند که نقش احتمالی و مهم آنها در تمایز و تکامل این سلولها را مطرح می کند. به نظر می رسد این قندها در مراحل انتهايی تکامل اسپرماتید به منظور حفاظت توسط اسید سیالیک پوشانده می شوند و در نتیجه از شدت واکنشها کاسته می شود. شدیدترین واکنشها در آکروزوم سلولهای زایا ملاحظه شد.

واژه های کلیدی: اسپرماتوژن، لکتین، گلیکوکانجوگیت، بیضه

مقدمه

در میان فاکتورهای تعیین کننده و مهم در تمایز و میان کنشهای سلولی در طول اسپرماتوژن پستانداران که شامل تکثیر میتوزی، میوزی، تغییرات بارز شکل سلول و اتصال شدید سلولهای زایا به سلولهای سرتولی در اپیتلیوم منی ساز می باشد، می توان از گلیکوکانجوگیتها نام برد [۳]. این ترکیبات در تمایز سلولی بسیاری از سیستمهای بیولوژیکی دخالت داشته و در سایر اعمال نظری پینوستیوز و تکثیر نیز احتمالاً نقش دارند [۳]. گلیکوکانجوگیتهاي سطح سلول عوامل تعديل کنندهای هستند که از دسترسی لیگاندها به گیرندهای غشا جلوگیری می کنند و خود نیز به عنوان گیرندهای ویژه می توانند

اسپرماتوژن فرایندی است که در آن سلولهای بنیادی اسپرماتوگونی در قاعده لولههای منی ساز تقسیم شده، تمایز می یابند تا در نهایت در سطح آزاد لولههای منی ساز به اسپرماتوژآ تبدیل شوند [۱] که بالغ متعاقب آنها در اپیدیدیم به اسپرم متحرکی تبدیل می شوند که قادر به بارور ساختن تخمک هستند [۲]. غشای پلاسمایی این سلولها در طول اسپرماتوژن دچار تغییراتی شده و ویژگیهای متفاوتی کسب می کنند که در حین عبور از اپیدیدیم نیز ادامه می یابد [۲].

آدرس مکاتبه: مشهد، دانشگاه علوم پزشکی مشهد، گروه علوم تشریح، Email:Arm@yahoo.com
کد پستی ۹۱۳۷۶

برای اتصال به کربوهیدراتهای ویژه و اختصاصی داشته و ابزاری سودمند برای بررسی سطح سلول، پیگیری تمایز و تغییر شکل سلولی هستند. لکتین‌ها به صورت تجاری و خالص در دسترس هستند [۵]. از این ترکیبات به صورت کونژوگه با فلوروکرم‌ها، فرتین یا پراکسیدازها استفاده می‌شود [۲].

مطالعات متعددی در مورد اسپرما توژن با استفاده از لکتینها صورت گرفته که اکثرًا با استفاده از سوسپانسیون سلولی صورت گرفته است. بررسی یافت بیضه به صورت مقاطع بافتی نیز در برخی از گونه‌ها با استفاده از لکتین‌های کونژوگه با فلئورسین ایزوپیانات [۵] و رودامین [۲] صورت گرفته، این بررسیها روی رت [۲۰۵]، انسان [۱۰]، گاو [۱۱]، گراز [۱۲] صورت گرفته و در کلیه این مطالعات از تثبیت کننده بوئن برای استفاده شده و در هر یک نیز تعدادی محدود و خاص از لکتینها به کار برده شده است. بنابراین با توجه به این که طرح یا الگوی واکنش با لکتین‌های مختلف کونژوگه با پراکسیدازها در موش تاکنون گزارش نشده است و همچنین استفاده از تثبیت کننده B4G [۱۳-۱۵] در لکتین هیستوشیمی بیضه تاکنون تجربه نشده است. نظر به اهمیت گلیکوکانجوگیتها برای تعیین الگوی طبیعی توزیع قندهای انتهایی در بیضه با استفاده از روش لکتین هیستوشیمی این بررسی صورت گرفت.

مواد و روشها

این بررسی روی ۱۵ موش مذکور بالغ و بارور از نژاد BALB/C با سنین ۲ تا ۴ ماهه، تهیه شده از مرکز سرم‌سازی رازی مشهد، انجام شد که در شرایط استاندارد از نظر درجه حرارت، تاریکی و روشنایی، غذا و آب قرار داشتند. تحت شرایط بیهوشی با کلروفرم، بیضه‌ها خارج و به مدت ۴۸ ساعت در تثبیت کننده B4G [۱۴۱۳] قرار گرفتند. B4G شامل شش درصد کلرید مرکوریک، یک درصد گلو تارالدید و یک درصد استات سدیم است. pH این محلول باید ۶ باشد [۱۵]. پس از تثبیت مراحل آماده‌سازی معمولی یعنی آب‌گیری در الکلهای صعودی، شفاف‌سازی در گزیل، آغشته‌سازی و قالب‌گیری با پارافین را طی کرده و از بلوك‌های پارافینی به دست آمده برشهای ۵ میکرونی تهیه شد [۱۶-۱۳].

عمل کنند [۴]. در بیضه پستانداران، میزان زیادی گلیکوپروتئین ساخته می‌شود که در ارتباط با بازسازی و جایگزینی گلیکوپروتئین‌های غشای پلاسمایی، ساخت تنظیم شده و مقطعی آنزیم‌های آکروزومی و ترشح گلیکوپروتئین‌های خاص توسط اپیتیلیوم اپیدیدیم است [۲]. بسیاری از آنزیم‌های آکروزومی گلیکوپروتئین هستند [۵]. در مورد عمل و تشکیل پلی ساکاریدهای آکروزوم اطلاعات کمی در دسترس است. عمل احتمالی آنها را با ظرفیت‌گیری اسپرم و فعال‌سازی آکروزوم مرتبط دانسته‌اند [۵].

سلولهای مذکور در پستانداران حاوی گلیکولپیدی خاص به نام سمینولپید است که منحصراً در لایه خارجی غشای اسپرم قرار دارد و یکی از نقش‌های آن را در ارتباط با اتصال اسپرم به منطقه شفاف تخمک مطرح کردند [۶]. در طول اسپرما توژن سمینولپید که دارای بنیان قندی انتهایی گالاكتوز است به سرعت در فاز اولیه تکامل اسپرماتوسیت ساخته شده و در مراحل بعدی در سلول زایا باقی می‌ماند. این ساخت سریع و تنظیم شده عملی ویژه و احتمالاً ضروری را برای این گلیکوکانجوگیت در اسپرما توژن پیشنهاد می‌کند. در غیاب این ترکیب سیکل اسپرماتوژن ناتمام مانده و سلولها دژنره و ناپدید می‌شوند [۷].

از گلیکوکانجوگیتها مهم دیگر می‌توان به گانگلیوزیدهای پیچیده اشاره کرد که دارای بنیان قندی انتهایی ان‌استیل گالاكتوز آمین (GalNAc) و سیالیک اسید است و دارای نقش مهمی در فرایند اسپرماتوژن هستند [۸]. موشهای جهش یافته‌ای که قادر به ساخت این ترکیبات نیستند، عقیم هستند. نقش این ترکیبات را در ارتباط با انتقال تستوسترون از لوله‌های منی ساز به سلولهای سرتولی و جریان خون می‌دانند [۸].

یکی از روشهای بسیار سودمند که برای ارزیابی و ردیابی گلیکوکانجوگیتها با قندهای انتهایی خاص مورد استفاده قرار می‌گیرد، لکتین هیستوشیمی است. لکتین‌ها در سال ۱۹۸۰ به عنوان پروتئین‌های متصل شونده به کربوهیدرات‌ها شناخته شدند که آنزیم یا آنتی‌بادی نیستند، سلولها را آکلوبینه کرده و باعث جداسازی و تنهشین شدن پلی‌ساکاریدها یا گلیکوکانجوگیتها می‌شوند [۹]. این ترکیبات تمايلی متفاوت

جدول ۱. انواع مختلف لکتین مورد استفاده در مطالعات هیستوشیمیابی

Lectin	Abbreviation	binding Carbohydrate specificity
Glycine max (soybean) agglutinin	SBA	β, α D-GalNAc
Arachis hypogaea (peanut) agglutinin	PNA	D-Gal-(β 1-3)-D-GalNAc
Maclura pomifera agglutinin	MPA	Gal- (β 1-3) - GalNAc
Vicia villosa agglutinin	VVA	GalNAc
Griffonia simplicifolia agglutinin	GSAI-B4	α -D-Gal
Lotus tetragonolobus agglutinin	LTA	L-fuc (α 1-3) GlcNAc
Ulex europeus agglutinin	UEA-I	L-fuc (a 1-2) Gal (β 1-4) Glc

گلوکز : Glc ، استیل گالاكتوز آمن : GalNAc ، گالاكتوز : Gal ، فوكوز : Fuc

قرار گرفتند [۲، ۵، و ۹].

یافته‌ها

در سلولهای اسپرماتوگونی هیچ یک از لکتینهای استفاده شده واکنشی ایجاد نکردند (شکلهای ۱ تا ۶) در مورد اسپرماتوسیت اول SBA واکنشی به صورت نقطه کوچک واحد و منفردی در سیتوپلاسم به شدت (++) ایجاد کرد ولی در سیتوپلاسم فقط در مراحل انتهایی پاکیتن واکنشی ضعیف (+) در آنها مشاهده شده (شکلهای ۱ و ۲). لکتینهای MPA و PNA در آنها مشاهده شده (شکلهای ۳ تا ۶). در نقاط مدور مشابه ذکر شده واکنشی قوی (+++) ایجاد نمود.

در مورد اسپرماتیدها؛ نقاط مدور ذکر شده با شدت واکنش حداقل (+) در اسپرماتیدهای گرد یا اولیه در واکنش به لکتینهای فوق نیز وجود داشت که با پیشرفت اسپرمیوژن و تکامل اسپرماتیدهای گرد در مراحل بعدی به تدریج گسترش یافته و به شکل کلامکی تبدیل می‌شوند (شکلهای ۱ تا ۶). این واکنشهای در ابتدای تشکیل اسپرماتید انتهایی یا طویل ادامه می‌یابد ولی از شدت واکنشها در مراحل انتهایی اسپرمیوژن در مورد لکتینهای SBA و PNA کاسته می‌شود. در مورد سلولهای سرتولی؛ واکنش سیتوپلاسمی و غشایی ضعیف در پاسخ به PNA و متوسط تا قوی به MPA ملاحظه شد.

مقاطعی که با B4G ثابت شده بودند، به منظور برداشتن كامل املاح مرکوریک موجود در ثبت کننده BAG به مدت ده دقیقه در محلول Alcoholic iodine قرار گرفتند [۱۳]. پس از شستشو به مدت نیم ساعت در محلول بافر فسفات سالین قرار گرفتند [۱۳]. روی هر لام چند قطره از لکتینهای ذکر شده در (جدول ۱)، رقیق شده با بافر فسفات به نسبت ۱:۱۰۰ ریخته شد [۱۴ و ۱۵]. این لکتین‌ها به صورت کوژنوجه با Horse radish peroxidase (HRP) از شرکت سیگما خردباری شده بود. پس از گذشت ۲ ساعت، کلیه لامها با بافر فسفات سالین شسته و به مدت ده دقیقه در مجاورت Diaminobenzidine (DAB) با غلظت ۰/۰۳ گرم در صد سی سی بافر فسفات که به آن ۲۰۰ میکرولیتر آب اکسیژنه افزوده شده، قرار گرفتند. سپس کلیه لامها به مدت پنج دقیقه در محلول آلسین بلو با pH=۲/۵ به منظور ایجاد رنگ زمینه قرار گرفتند [۱۳-۱۵]. پس از آن مراحل معمول آزمایشگاهی برای آماده‌سازی لامها صورت گرفته و لامهای آماده شده با میکروسکوپ معمولی نوری مورد بررسی قرار گرفتند [۱۳-۱۵] براساس شدت واکنش در سلولهای مختلف نسبت به لکتین‌ها که به صورت رنگ قهوه‌ای ظاهر می‌شود و با استفاده از روش به کار برده شده در مطالعات [۲ Arya و Burkett] [۱۷] نمرات منفی تا +۴ برای هر یک منظور شد.

همان‌طور که جدول ۱ مشاهده می‌شود انواع مختلف لکتین که در مطالعات هیستوشیمیابی بیضه مورد استفاده

اسپرماتید انتهایی دیده می‌شود، این احتمال را مطرح می‌سازد که این ساختمانهای مدور کوچک باید گرانولهای پیش آکروزومی باشند که با تکامل بیشتر سلولها به آکروزوم تبدیل می‌شوند. دستگاه گلزاری در سلولهای زایا نقش مهم ساخت آکروزوم و آنزیم‌های آن را بر عهده داشته [۵ و ۱۱] و گلیکوزیلاسیون اجزا و مورد سلوالی در کمپلکس گلزاری صورت می‌گیرد [۱۹ و ۱۱]. ظهور واکنشها و ساختمانهای مدور پیش آکروزومی می‌تواند گویای این مسئله باشد که ساخت آنزیم‌های آکروزومی از زمان اسپرماتوسیت اول شروع می‌شود. در مطالعه صورت گرفته توسط Soderstrom [۵] روی رت نیز واکنشهای نقطه‌ای کوچک، آکروزوم در مراحل ابتدای تکامل و کلاهکی، آکروزوم تکامل یافته نامگذاری شده است. چنین تعابیری توسط Arya [۲] نیز مطرح شده است.

واکنش منفی کلیه سلولهای زایا به LTA با یافته‌های Arenas [۱۰] و همکارانش در مطالعه روی بافت بیضه انسان هماهنگی دارد. از این نتایج چنین استنباط می‌شود که قند فوکوز احتمالاً نقش چندانی در اسپرماتوژن ندارد.

ظهور واکنش نسبت به لکتینهای SBA، VVA و PNA در اسپرماتوسیتهای اول و افزایش آن تا انتهای تکامل MPA اسپرماتیدهای اولیه با کاهش قابل توجهی در اسپرماتیدهای انتهایی دنبال می‌شود. این الگو در مورد PNA در مطالعات Soderstrom و Arya [۶] نیز مشاهده شده است. این کاهش می‌تواند به دو دلیل باشد، دلیل اول عدم نیاز به نقش این ترکیبات قندی در مراحل انتهایی اسپرمیوژن پس از ایفای نقش خود در تمایز سلولهای زایا و دوم پنهان شدن و پوشانده شدن آنها توسط اسیدسیالیک که خود یک قند انتهایی است. این قند تمايل شدیدی برای ماسک کردن قندهای دیگر دارد [۶]. از سوی دیگر میزان اسید سیالیک با پیشرفت فرایند اسپرماتوژن افزوده می‌گردد و این افزایش در اپیدیدیم نیز ادامه می‌یابد [۲۰]. با توجه به این مطالب و نقش ذکر شده برای اسید سیالیک که آن را پوششی بر روی قندهای انتهایی دیگری می‌داند که می‌توانند نقش آنتی‌ژنی داشته و باعث از بین رفت و توقيف اسپرم‌ها در مسیر تناسلی مؤنث شوند [۶] به نظر می‌رسد که کاهش واکنش بیشتر به دنبال پوشیده شدن توسط اسید سیالیک باشد.

برای بررسی و نتیجه گیری راحت‌تر و سریع‌تر کلیه نتایج به دست آمده در جدول ۲ ارایه شده است.

جدول ۲. خلاصه‌ای از واکنش لکتینهای متفاوت در سلولهای مختلف

آپی‌تلیوم منی‌سان

لکتین	سرتوانی	اسپرماتید گرد	اسپرماتوسیت I	اسپرماتید انتهایی
		سیتوپلاسم	نقطه یا کلاهک	سیتوپلاسم
SBA	-	+++	++	++++
MPA	++	+++	++	++++
PNA	++	+	++	++++
VVA	+	-	+++	+++
GSA1	---	++	-	-
LTA	-	-	-	-
UEAI	-	-	---	---

-: منفی +: ضعیف ++: متوسط +++: قوی ++++: حداکثر

اسپرماتید گرد یا اولیه (round or early): از زمان تشکیل اسپرماتید تا مرحله ۱۸ اسپرمیوژن (elongate or late): از مرحله ۹ تا ۱۹ اسپرمیوژن را شامل می‌شود.

بحث

با توجه به اهمیت قندهای انتهایی در فرایند اسپرماتوژن که به وسیله روش‌های ژنتیکی و حیوانات آزمایشگاهی جهش یافته روشن شده است بررسی و تعیین الگوی طبیعی توزیع این قندها در بیانات طبیعی ضروری به نظر می‌رسد. نتایج به دست آمده از این بررسی عدم واکنش سلولهای اسپرماتوگونی به کلیه لکتینهای به کار برده شده و ظهور این واکنش در اسپرماتوسیت اول و سلولهای تمایز یافته بعدی را نشان می‌دهد که خود گویای این مسئله است که گلیکوکانجوگیتها با قندهای انتهایی خاص در تکامل و تمایز این سلولها نقش دارند و ساخت این ترکیبات، تنظیم شده و وابسته به تکامل است [۷]. نقش این ترکیبات به عنوان گیرنده‌های سطح سلول [۴] یا عواملی که در تکثیر و تمایز سلولهای زایا دخالت دارند قبل از مورد توجه قرار گرفته است [۳].

ظهور مناطقی مدور که شدیداً به لکتینها واکنش می‌دهند و تغییر شکل این نقاط به صورت هلالی که به تدریج صورت می‌گیرد تا در نهایت به آکروزومی شباهت می‌یابد که در

حاضر نیز هماهنگی دارد. مشاهایی که به صورت ژنتیکی در ساخت سمینولیپید نقص دارند، عقیم هستند. در این مشاهای زن سازنده آنژیم انتقال دهنده گالاکتوز به بخش چربی پیش‌ساز سمینولیپید دچار نقصان می‌شود [۷]. این نمونه اهمیت حیاتی این قند را در اسپرماتوژن نشان می‌دهد.

تقدیر و تشکر

نویسنده‌گان مقاله کمال تشکر و قدردانی خود را از حمایت مالی و همکاری‌های صمیمانه معاونت محترم پژوهشی دانشگاه علوم پزشکی مشهد ایراز می‌دارند. خدمات فنی خانم متعدد در امر کمک به انجام کارهای آزمایشگاهی نیز قابل تقدیر است.

به طور کلی ترکیبات قندی که با استفاده از این لکتینها در سلولهای زایا ردیابی شدند عبارتنداز ان استیل گالاکتوز آمین، گالاکتوز و به مقدار ناچیزی فوکوز و در سلولهای سرتولی نیز قندهای گالاکتوز ان استیل گالاکتوز آمین ردیابی شدند.

ظهور قندهای انتهایی گالاکتوز ان استیل گالاکتوز آمین در اسپرماتوسیت اول و افزایش آنها در اسپرماتید اولیه با پیدایش و افزایش میزان سمینولیپیدها در این سلولها همخوانی دارد و قطعاً بخشی از این قندها مربوط به این ترکیب خواهد بود. سمینولیپیدها دارای قند انتهایی گالاکتوز هستند [۷]. روش‌های ایمنولوژیکی نشان داده‌اند که سمینولیپید در سطح اسپرماتوسیت اول و اسپرماتید گرد وجود دارد ولی روی اسپرماتوگونی در رت حضور ندارد [۷] که با یافته‌های تحقیق

References

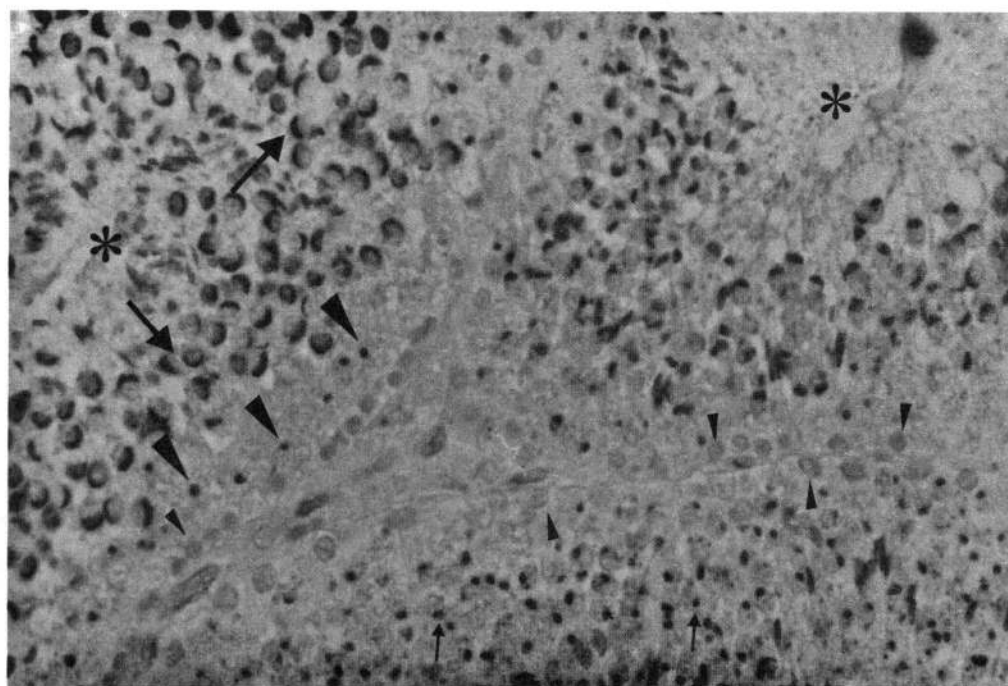
1. Weiss L. Histology cell and tissue biology, Fifth edith, Elsevier science, New York, 1983, p 1004
2. Arya M, Vanha-Perttula T. Distribution of lectin binding in rat testis and epididymis, Andrologia. 1984; 16: 495-508
3. Clarke FMB, Keyes S. Identificatoion of spermatogenic cell plasma membrane glycoproteins by two dimensional electrophoresis and lectin blotting. J Cell Science. 1984; 65: 233-248
4. Tomoya OA, Hioaki N, Kazuhiro S, Sonoko N. Germ cell survival through carbohydrate mediated with sertoli cells. Science. 2002; 295: 124-127
5. Soderstrom KO, Malmi R, Karjalainen K. Binding of fluorescein isothiocyanate conjugated lectins to rat spermatogenic cels in tissue sections. Histochemistry. 1984; 80(6): 575-579
6. Frits M, Barend MG. Dynamics of the mammalian sperm plasma membrane in the process of fertilization. Biochem Biophys Acta. 2000; 1469: 197-235
7. Fujimoto H, Tadano-Aritomi K, Tokumasu A, Ito K, Hikita T, Suzuki K, Ishizuka I. Requirement of seminolipid in spermatogenesis revealed by UDP-galactose. J Biol Chem. 2000; 275(30): 22623-22626
8. Takamia K, Yamamoto A, Furukawa K, Zhao J, Fukumoto S, Yamashiro S, Okada M, Haraguchi M, Shin M, Kishikawa M, Shiku H, Aizawa S. Complex gangliosides are essential in spermatogenesis of mice, possible roles in the transport of testosterone. Biochemistry. 1998; 95(21): 12147-12152
9. Montreuil J, Vliegenthart JFG, Schachter H. Glycoproteins II, Elsevier Science BV. Amsterdam, 1997, pp 403-455
10. Arenas MI, Madrid JF, Bethencourt FR, Fraile B, Paiagua R. Lectin histochemistry of the human testis. Int J Androl. 1998; 21(6): 332-342
11. Ertl C, Wrobel K. Distribution of sugar residues in the bovine testis during postnatal ontogenesis demonstrated with lectin-horse radish peroxidase conjugates. Histochemistry, 1992; 97(2): 161-171
12. Calvo A, Pastor LM, Bonet S, Pinart E, Ventura M. Chracterization of the glycoconjugates of boar testis and epididymis. J Reprod Fertil. 2000; 120(2): 325-335
۱۳. فاضل علیرضا. مطالعات هیستوشیمیایی ترکیبات قندی سطح سلولی لنفوسيت‌های T در روند تکامل جنینی. مجله دانشکده پزشکی دانشگاه علوم پزشکی مشهد. ۱۳۷۴؛ ۴، جلد ۳۸ (شماره ۴۹): ۱۳-۳۱
۱۴. فاضل علیرضا، قربانی کلخواجه رستم. نقش اختصاصی برخی از گلیکوکانجوگیت‌ها در تکامل اولیه جوانه اندام جنین. مجله علوم پایه پزشکی ایران. ۱۳۷۸؛ ۲، جلد ۲ (شماره ۳): ۱۵۸-۱۶۵
۱۵. نیکروش محمدرضا، فاضل علیرضا، جلالی مهدی. از مژاشیم تا

غضروف: مطالعات لکتین هیستو شیمی در مزانشیم ناحیه شکمی -
داخلی لوله عصبی در طی رویان. مجله علوم پایه پزشکی ایران.
۱۳۸۰، ۵ (شماره ۲): صفحات ۱۰۶-۱۰۰

16. Bancrof JD, Stevens A. Theory and practice of histological techniques, 5nd edit, Churchill Livingstone, New York, 1991, pp. 20-82
17. Burkett B, Schulte B, Spicer S. Histochemical evalution of glycoconjugates in the male reproductive tract with lectin-horseradish peroxidase conjugates. The American Journal of Anatomy. 1987; 178: 23-29
18. Saez FJ, Aparicio R, Alonso E, Hernandez F. Glycan residues of N- and O- linked oligosaccarides in the

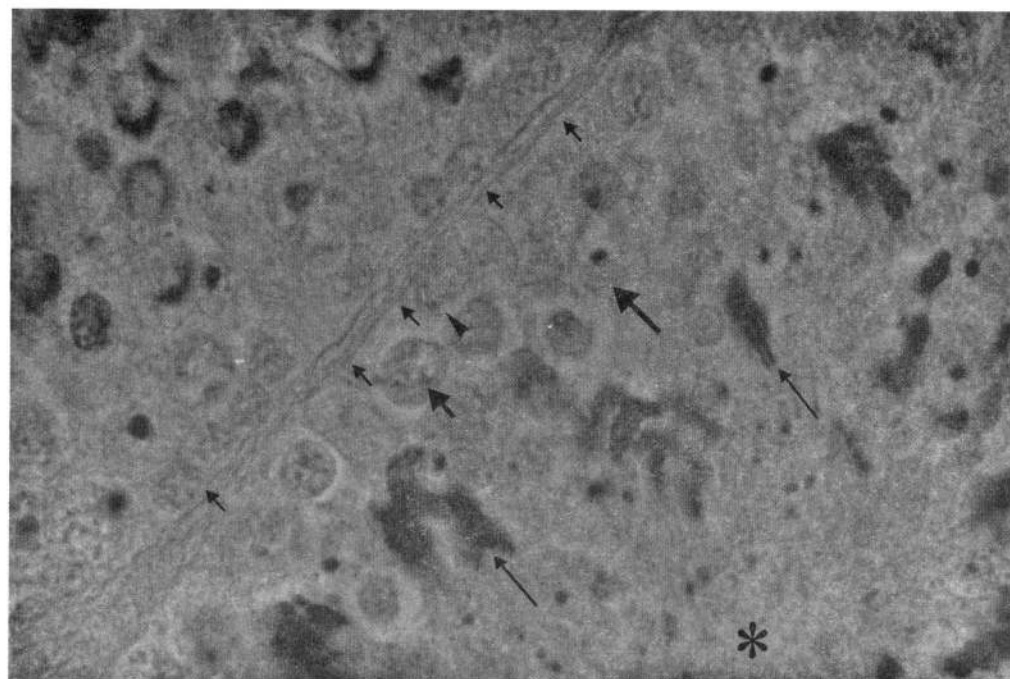
premeiotic spermatogenic cells and of the urodele amphibian Pleurodeles Waltl. Characterized by means of lectin histochemistry. *Tissue & Cell.* 2000; 32(4): 302-311

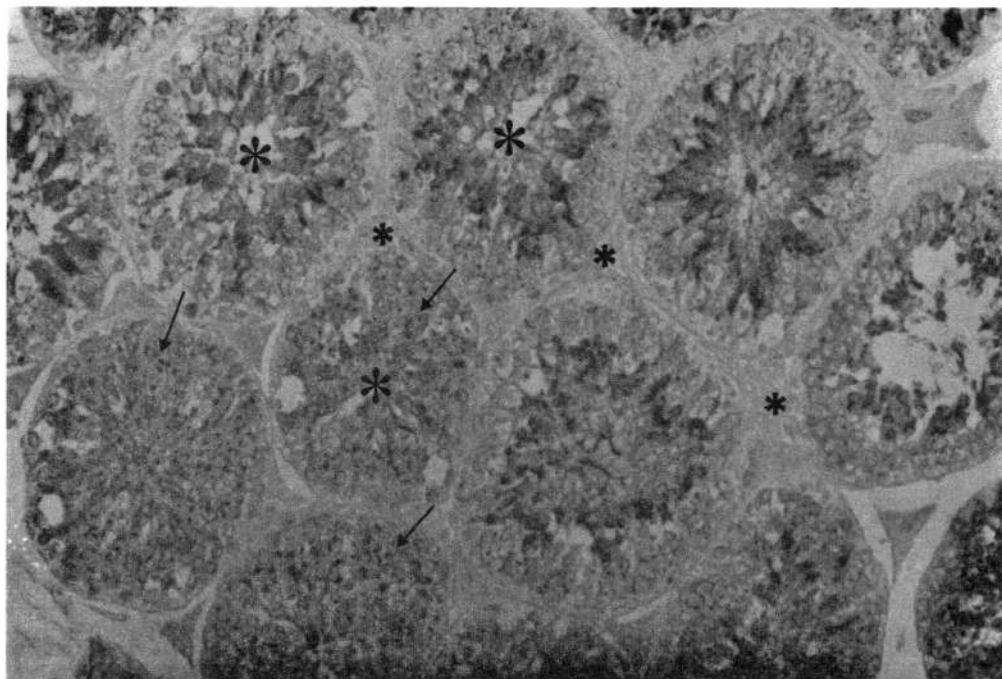
19. Alberts B, Johnson A, Lewis J, Roberts K, Watter P. Molecular biology of the cell, Garland science, New York, 2002, pp. 620-635
20. Magargee SF, Kunze E, Hammerstedt RH. Changes in lectine binding features of ram sperm surfaces associated with epididymal maturation and ejaculation. *Biol Reprod.* 1988; 38(3): 667-685



◀ شکل ۱. مقاطع عرضی لوله‌های منی‌ساز، رنگ‌آمیزی شده با SBA و آلسین بلو. ستاره: لومن لوله منی‌ساز، سرفلاش کوچک: سلول اسپرماتوگونی، سرفلاش بزرگ: اسپرماتوسیت I، پیکان کوتاه: اسپرماتید گرد در ابتدای اسپرمیوزنز، پیکان بزرگ: اسپرماتید گرد در انتهای تکامل خود. بزرگنمایی: $\times 1000$

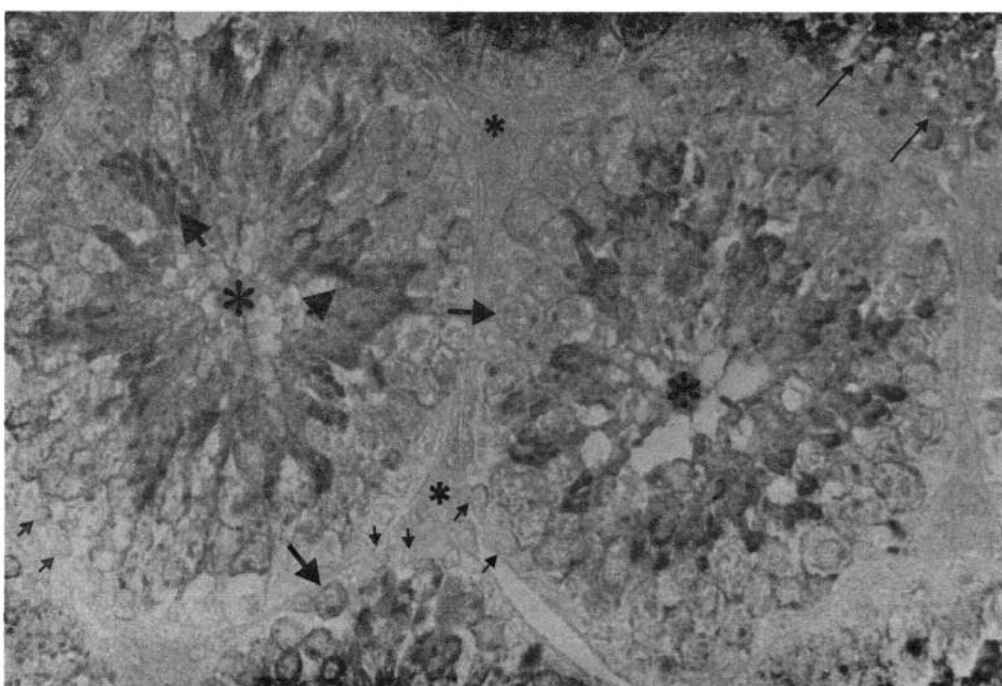
◀ شکل ۲. بخشی از مقاطع عرضی دو لوله منی‌ساز، رنگ‌آمیزی شده با SBA و آلسین بلو. ستاره: لومن لوله منی‌ساز، سرفلاش: سلول اسپرماتوگونی، پیکان متوسط: اسپرماتوسیت I، پیکان بزرگ: اسپرماتید گرد، فلش کوچک بلند: اسپرماتید انتهایی در اوسط تکامل خود، فلش‌های کوچک: غشاء پایه لوله منی‌ساز. بزرگنمایی: $\times 2500$

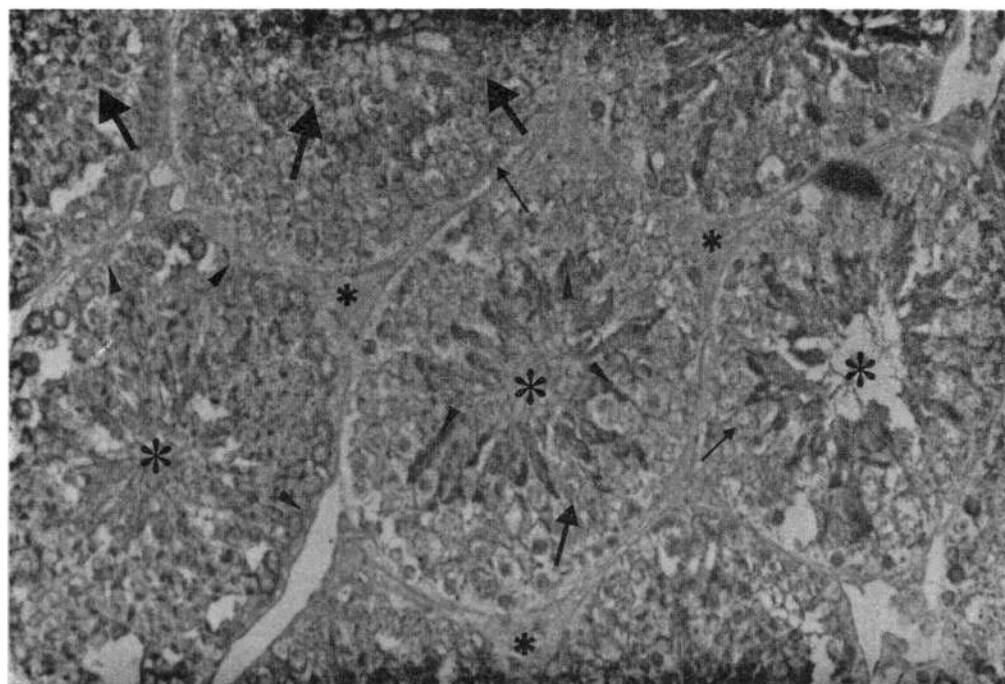




◀ شکل ۲. مقاطع عرضی لوله‌های منی‌سان، رنگ‌آمیزی شده با PNA و آلسین بلو. ستاره بزرگ: لومن لوله منی‌سان، ستاره کوچک: بافت بینابینی، فلاش بلند: اسپرماتید گرد در مراحل مختلف تکامل. بزرگنمایی: $\times 500$

◀ شکل ۳. مقاطع عرضی لوله‌های منی‌سان، رنگ‌آمیزی شده با PNA و السين بلو. ستاره بزرگ: لومن لوله منی‌سان، ستاره کوچک: بافت بینابینی، فلاش کوچک: سلول اسپرماتوگونی، فلاش بزرگ: اسپرماتوسیت I، فلاش بلند: اسپرماتید گرد، فلاش پهن کوتاه: اسپرماتید انتهایی. بزرگنمایی: $\times 1000$





شکل ۵. مقاطع عرضی لوله‌های منی‌سان، رنگ‌آمیزی شده با MPA و آلسین بلو. ستاره بزرگ: لومن لوله منی‌ساز، ستاره کوچک: بافت بینابینی، فلاش کوچک: اسپرماتوسیت I، فلاش متوسط: اسپرماتید گرد در ابتدای اسپرمیوژن، فلاش بزرگ: اسپرماتید گرد در انتهای تکامل، سرفلاش: اسپرماتید انتهایی، سرفلاش بزرگ: اسپرماتوگونی.
بزرگنمایی: $\times 660$

شکل ۶. مقاطع عرضی لوله‌های منی‌سان، رنگ‌آمیزی شده با MPA و آلسین بلو. ستاره بزرگ: لومن لوله منی‌ساز، ستاره کوچک: بافت بینابینی، فلاش کوتاه پهنه: اسپرماتوگونی، فلاش باریک و بلند: اسپرماتوسیت I، فلاش بزرگ: اسپرماتید انتهایی، سرفلاش: سرتولی. بزرگنمایی: $\times 1330$

